

# 基于 SMT 的混成系统仿真与验证

方徽星

华东师范大学

国家可信嵌入式软件工程技术研究中心

2017 年 3 月 5 日

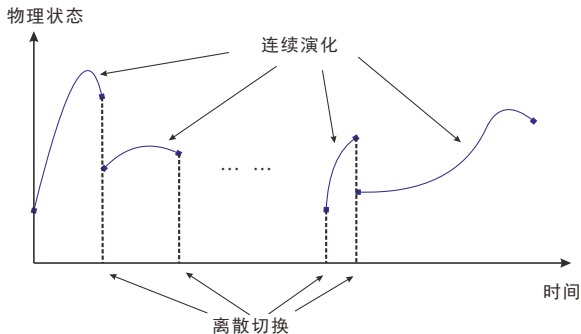
# 大纲

- 1 建模语言
- 2 模型转换
- 3 原型工具
- 4 案例分析
- 5 总结

- 1 建模语言
- 2 模型转换
- 3 原型工具
- 4 案例分析
- 5 总结

# 研究背景

- 混成系统是一种动态系统，其同时具有连续和离散的动态行为特征
- 混成系统可以作为嵌入式系统设计的基本数学模型，可应用于：汽车电子，高速列车，轨道交通，航空航天以及工业生产等领域



- 混成系统建模语言 HML:

$$AP ::= \text{skip} \mid v = e \mid !s \mid \text{wait}(e)$$
$$EQ ::= R(v, \dot{v}) \mid R(v, \dot{v}) \text{ init } v_0 \mid EQ \parallel EQ$$
$$P ::= AP \mid P; P \mid \{P \parallel P\} \mid (P \langle b \rangle P) \mid EQ \text{ until } g \\ \mid \text{when}\{G\} \mid \text{while}(b)\{P\} \mid \text{Id}(e_s)$$
$$g ::= @(s) \mid b \mid g \langle \text{and} \rangle g \mid g \langle \text{or} \rangle g$$
$$b ::= \text{true} \mid \text{false} \mid v \circ c \mid \sim b \mid b \text{ and } b \mid b \text{ or } b$$
$$G ::= (g \text{ then } P) \mid G, G$$

其中,  $\circ \in \{>=, >, ==, <, <=\}$

- 在 HML 语言中引入四种数据类型：

## 类型

```
Type ::= Signal | boolean | int | float
```

- 类型 `Signal` 用于声明信号变量
- 类型 `boolean` 用于布尔变量
- 类型 `int` 和 `float` 分别用于整数和实数变量

# HML 语言

- 在 HML 语言中引入四种数据类型：

## 类型

$Type ::= \text{Signal} \mid \text{boolean} \mid \text{int} \mid \text{float}$

- 类型 `Signal` 用于声明信号变量
  - 类型 `boolean` 用于布尔变量
  - 类型 `int` 和 `float` 分别用于整数和实数变量
- 新增语法结构：

## 语法结构

为了在模型中表示变量的有界约束以及实现代码重用等功能，定义如下语法结构：

$Constraint ::= v \text{ in } [l, h]$  (1)

$Template ::= \text{Template } Id(f_s) \{ P \}$  (2)

$Main ::= \text{Main} \{ P \}$  (3)

# 大纲

- 1 建模语言
- 2 模型转换
- 3 原型工具
- 4 案例分析
- 5 总结



# 模型转换

- SMT 公式是以前缀的形式表示的，为了公式的可读性和表述的方便，以中缀的方式表示，并对某些特殊的公式以抽象的形式给出

## 符号约定

$m$  : 模型转换 ( 展开 ) 的深度 ,  $\tau$  : 标记变量新值 ,  $\rho$  : 标记变量初值

- 对于赋值语句  $x = e(\vec{v})$  , 可将其转换为如下公式 :

$$x_{m,\tau} = e(\vec{v}_{m,\rho})$$

其中 ,  $e(\vec{v}_{m,\rho})$  为表达式  $e(\vec{v})$  通过将  $\vec{v}$  替换为初值  $\vec{v}_{m,\rho}$  而得到的新的表达式

# 模型转换

- SMT 公式是以前缀的形式表示的，为了公式的可读性和表述的方便，以中缀的方式表示，并对某些特殊的公式以抽象的形式给出

## 符号约定

$m$  : 模型转换 ( 展开 ) 的深度 ,  $\tau$  : 标记变量新值 ,  $\rho$  : 标记变量初值

- 对于赋值语句  $x = e(\vec{v})$  , 可将其转换为如下公式 :

$$x_{m,\tau} = e(\vec{v}_{m,\rho})$$

其中 ,  $e(\vec{v}_{m,\rho})$  为表达式  $e(\vec{v})$  通过将  $\vec{v}$  替换为初值  $\vec{v}_{m,\rho}$  而得到的新的表达式

## 例 (赋值)

赋值语句  $x = x + y + 1$  可以转换为公式  $x_{m,\tau} = x_{m,\rho} + y_{m,\rho} + 1$  , 若用 SMT 公式的形式表示 , 则为 :  $(= x_{m,\tau} (+ x_{m,\rho} (+ y_{m,\rho} 1)))$

# 模型转换

- 信号发送

信号发送程序  $!s$  可以当做为一个离散赋值操作，可以将信号的发送转换为如下简单的公式：

$$s_m = global_{m,\rho}$$

其中， $global_{m,\rho}$  代表信号  $s$  产生的时刻点。信号的变量名中没有下标  $\tau$

# 模型转换

- 信号发送

信号发送程序 !s 可以当做为一个离散赋值操作，可以将信号的发送转换为如下简单的公式：

$$s_m = global_{m,\rho}$$

其中， $global_{m,\rho}$  代表信号  $s$  产生的时刻点。信号的变量名中没有下标  $\tau$

- 串行组合

对于  $P_1; P_2$ ，若  $P_1$  转换后的公式为  $\mathcal{F}_1(\vec{x}_{m,\tau}^1, \vec{x}_{m,\rho}^1) \wedge (\vec{x}_{m,\tau}^1 = \vec{e}_1(\vec{x}_{m,\rho}^1))$ ， $P_2$  转换后的公式为  $P_2$  is  $\mathcal{F}_2(\vec{x}_{m,\tau}^2, \vec{x}_{m,\rho}^2) \wedge (\vec{x}_{m,\tau}^2 = \vec{e}_2(\vec{x}_{m,\rho}^2))$ ，则有：

$$\mathcal{F}_1(\vec{e}_1(\vec{x}_{m,\rho}), \vec{x}_{m,\rho}) \wedge \mathcal{F}_2(\vec{x}_{m,\tau}, \vec{e}_1(\vec{x}_{m,\rho})) \wedge (\vec{x}_{m,\tau} = \vec{e}_2(\vec{e}_1(\vec{x}_{m,\rho})))$$

其中， $\vec{x}_{m,\rho}$  代表  $\vec{x}$  的初值，公式中的上标 ( 1 和 2 ) 只是为了区分  $P_1$  和  $P_2$  的公式用的。 $\vec{x}_{m,\rho}^1 = \vec{x}_{m,\rho}$ ， $\vec{x}_{m,\rho}^2 = \vec{x}_{m,\tau}^1$ ， $\vec{x}_{m,\tau}^2 = \vec{x}_{m,\tau}$

# 模型转换

- 条件选择

条件选择语句  $(P_1 \langle b \rangle P_2)$  可以表示成如下公式：

$$[b(\vec{x}_{m,\rho}) \wedge \vec{x}_{m,\tau} = \vec{e}_1(\vec{x}_{m,\rho})] \vee [\neg b(\vec{x}_{m,\rho}) \wedge \vec{x}_{m,\tau} = \vec{e}_2(\vec{x}_{m,\rho})]$$

$b(\vec{x}_{m,\rho})$  代表转换后的布尔表达式公式。表达式  $\vec{e}_1$  和  $\vec{e}_2$  分别用于程序  $P_1$  和  $P_2$  转换后的公式。一般地，条件选择对应多个可能的执行路径

# 模型转换

- 条件选择

条件选择语句  $(P_1 \langle b \rangle P_2)$  可以表示成如下公式：

$$[b(\vec{x}_{m,\rho}) \wedge \vec{x}_{m,\tau} = \vec{e}_1(\vec{x}_{m,\rho})] \vee [\neg b(\vec{x}_{m,\rho}) \wedge \vec{x}_{m,\tau} = \vec{e}_2(\vec{x}_{m,\rho})]$$

$b(\vec{x}_{m,\rho})$  代表转换后的布尔表达式公式。表达式  $\vec{e}_1$  和  $\vec{e}_2$  分别用于程序  $P_1$  和  $P_2$  转换后的公式。一般地，条件选择对应多个可能的执行路径

- 循环

对于循环语句  $\text{while } (b) \{ P \}$ ，若用自然数  $i$  表示循环的总层数，则当  $i = 0$  时，程序转换为：

$$LP_0 = \neg b(\vec{x}_{m,\rho})$$

一般地，有  $LP_i = [b(\vec{x}_{m,\rho}) \wedge \vec{x}_{m,\tau} = \vec{e}^i(\vec{x}_{m,\rho})] \wedge [\neg b(\vec{x}_{m,\tau})]$ ，其中  $\vec{e}^i(\vec{x}_{m,\rho}) = \vec{e}(\vec{e}^{i-1}(\vec{x}_{m,\rho}))$

# 模型转换

- 等待

对于 `wait(e( $\vec{x}$ ))` , 可将其转换为微分方程的形式 :

$$[\langle clock_{m,\tau} \rangle] = (\text{integral } [0, time_m] \text{ } clock_{m,\rho} \text{ } flow)$$

$[\langle \cdot \rangle]$  用于连续变量取值的表示, 微分方程  $flow =_{def} (\frac{d[clock]}{d[t]} = 1)$  ,  $clock$  的初值为  $clock_{m,\rho}$  ,  $[0, time_m]$  为积分区间, 变量  $time_m$  为连续行为的时间上界, 关键字 `integral` 表示积分运算。同时还需 :

$$\forall t \in [0, time_m]. \neg (clock_{m,\tau} \geq e(\vec{x}_{m,\rho}))$$

表示在程序终止之前, 变量  $clock$  的值始终小于表达式  $e$  的取值。对于程序执行结束的情况, 也需要相应的公式来表示 :

$$clock_{m,\tau} \geq e(\vec{x}_{m,\rho})$$

需要注意的是, 该公式没有使用量词, 因为终止行为只是发生在一个时刻点上的瞬时行为

# 模型转换

- 微分方程

对于微分方程 ( $\dot{v} = e(v)$  **init**  $v_0$  **until**  $g(\vec{x})$ ), 可以将其转换为:

$$[\langle v_{m,\tau} \rangle] = (\text{integral } [0, \text{time}_m] v_{m,\rho} \text{ flow})$$

其中,  $v_{m,\rho} = v_0$ , 方程  $\text{flow} =_{\text{def}} (\frac{d[v]}{d[t]} = e(v))$ 。同样地, 还有约束:

$$\forall t \in [0, \text{time}_m]. (\neg g(\vec{x})_{m,\tau})$$

不同的卫兵条件  $g$ , 其对应的约束公式的具体形式是不同的:

- 对于信号卫兵  $@(s)$ , 其约束公式的具体形式为  $\neg(s_m \geq \text{global}_{m,\tau})$ 。  
若在连续行为开始时信号刚刚发出, 则公式  $(s_m \geq \text{global}_{m,\tau})$  为真, 连续行为将立刻终止
- 对于布尔条件  $b$ , 有约束公式  $\neg b(\vec{x}_{m,\tau})$



- 等待选择

对于等待选择程序  $\text{when}\{(g \text{ then } P)\}$  , 可以转换如下 :

$$[\langle \text{clock}_{m,\tau} \rangle] = (\text{integral } [0, \text{time}_m] \text{ clock}_{m,\rho} \text{ flow})$$

其中 , 微分方程  $\text{flow} =_{\text{def}} (\frac{d[\text{clock}]}{d[t]} = 1)$  , 约束公式为

$$\forall t \in [0, \text{time}_m]. (\neg g(\vec{x})_{m,\tau})$$

子程序  $P$  将用于下一深度 ( $m + 1$ ) 的模型展开 , 当有多个子句时 , 可用采用动态展开的方式处理

# 模型转换

- 离散- 连续

对于离散动作和连续行为的并发，有如下规则：

$$\frac{D \parallel C}{D ; C}$$

在模型转换时，先转换离散程序然后处理连续程序的转换

- 离散- 离散

对于两个离散动作 ( $D_1$  和  $D_2$ ) 的并发，有如下规则：

$$\frac{D_1 \parallel D_2}{(D_1 ; D_2) \vee (D_2 ; D_1)}$$

由于两个离散动作执行的先后是非确定的，在转换时可以使用逻辑或操作符表示

- 连续-连续

对于两个连续行为 ( $C_1$  和  $C_2$ ) 的并发, 有如下基本规则:

$$\frac{C_1 \parallel C_2}{[(\sim_{1,2}) \text{ until } g_{1,2}]; [(g_1 \wedge g_2 \wedge \text{skip}) \vee (g_1 \wedge \neg g_2 \wedge C_2) \vee (\neg g_1 \wedge g_2 \wedge C_1)]}$$

其中,  $(\sim_{1,2})$  为从  $C_1$  和  $C_2$  中抽取出来的方程组成的联立方程组,  $g_1$  和  $g_2$  分别是  $C_1$  和  $C_2$  的卫兵条件,  $g_{1,2} = g_1 \vee g_2$ , 分号 (;) 后表示程序的三种可能性

# 大纲

- 1 建模语言
- 2 模型转换
- 3 原型工具**
- 4 案例分析
- 5 总结

# 基于 dReal 实现仿真验证

- dReal 是 CMU Edmund M. Clarke 团队开发的一个开源的 SMT 求解器，基于 OpenSMT 和 RealPaver 实现，能够处理含有可计算非线性实函数的一阶逻辑公式判定问题

## dReal 判定结果

对于 SMT 公式  $\varphi$ ，dReal 将返回如下判定结果：

- UNSAT :  $\varphi$  是不可满足的，模型无数值扰动  $\delta$
  - $\delta$ -SAT :  $\varphi^\delta$  是可满足的，模型有数值扰动  $\delta$
- 数值扰动可以理解为模型中物理量在一定范围内的非确定变化情况，对应模型的数值精度控制， $\delta$  数值越小表明精度越高

# dReal : SMT 公式

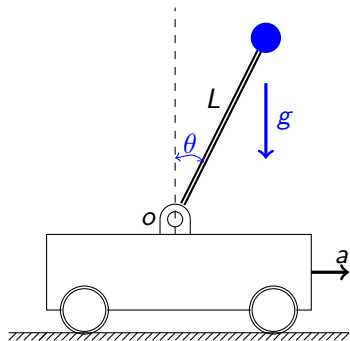
```
1 (set-logic QF_NRA_ODE) ← 指定逻辑
2 (declare-fun height () Real) ← 声明变量
3 ...
4 (define-ode flow_1 ((= d/dt[height] velocity)
5 (= d/dt[velocity] (+ (- 0 9.8) (* (- 0 0.45) velocity))))
6 ...
7 (assert (and (= mode_0 1) ... (= [velocity_0_t height_0_t
8 clock_0_t global_0_t](integral 0. time_0
9 [velocity_0_0 height_0_0 clock_0_0 global_0_0] flow_1))
10 ... (= mode_0 1)
11
12 (= mode_1 1)(= global_1_0 global_0_t)(= velocity_1_0
13 (* (- 0 0.9) velocity_0_t)) ...
14 ...
15 (check-sat)
16 (exit)
```

# 大纲

- 1 建模语言
- 2 模型转换
- 3 原型工具
- 4 案例分析**
- 5 总结

# 案例分析：倒立摆

- 倒立摆数学模型



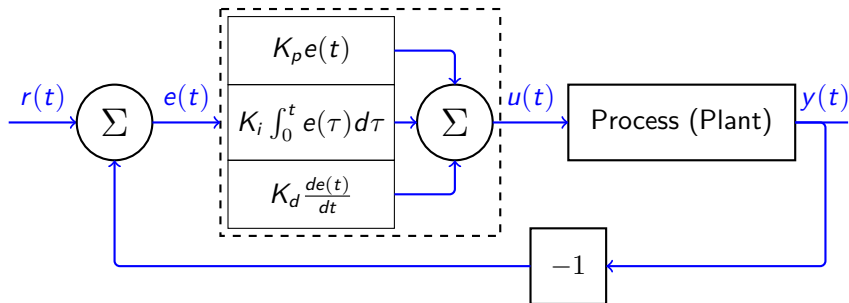
- $L$ : 摆杆的长度, 1 m
- $\theta$ : 摆杆与竖直方向的夹角
- $a$ : 小车的加速度
- $g$ : 重力加速度,  $9.8 \text{ m/s}^2$

$$L \frac{d^2\theta(t)}{dt^2} = g \sin[\theta(t)] - a(t) \cos[\theta(t)]$$



# 案例分析：倒立摆

- PID（比例·积分·微分）控制器的基本结构



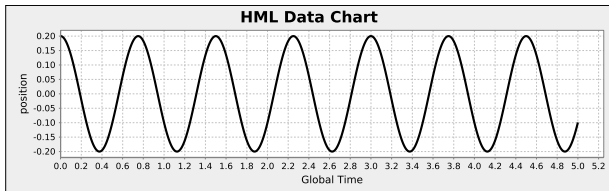
- $r$  : 目标值 ;  $e$  : 误差 ;  $u$  : 控制输出 ;  $y$  : 过程输出 (观测值)
- $K_p$  : 比例增益 ;  $K_i$  : 积分增益 ;  $K_d$  : 微分增益

# 案例分析：倒立摆 HML 模型，连续控制模式

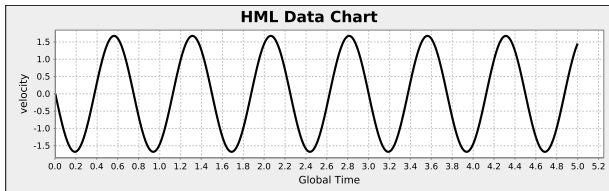
```
1 final float g=9.8, kp=80; ← 常量
2 float position=0.2, velocity=0, clock=0, global=0; ← 变量
3 position in [-10, 10]; ← 设定取值范围
4 velocity in [-40, 40];
5 time in [0, 10];
6 clock in [0, 10];
7 global in [0, 10];
8 Template Pendulum(float theta, float omega){
9 (dot theta = omega)
10 ||
11 (dot omega = g*sin(theta) - (kp*theta)*cos(theta))
12 until (false)
13 }
14 Main {
15 Pendulum(position, velocity)
16 }
```

# 案例分析：倒立摆连续控制模式仿真结果

- 倒立摆的位置。参数  $K_p = 80$  ,  $K_i = 0$  ,  $K_d = 0$ 。仿真时间 5 s

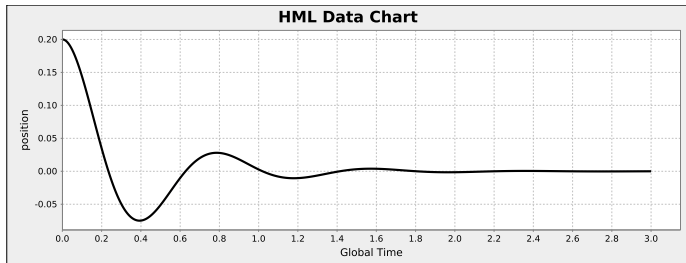


- 倒立摆的角速度。参数  $K_p = 80$  ,  $K_i = 0$  ,  $K_d = 0$ 。仿真时间 5 s



# 案例分析：倒立摆连续控制模式仿真结果

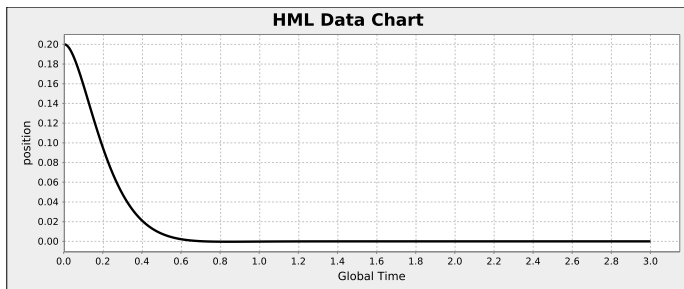
- 倒立摆的位置。参数  $K_p = 80$  ,  $K_i = 0$  ,  $K_d = 5$ 。仿真时间 3 s



- 位置振荡随着时间逐渐减弱，在 2 秒后趋于稳定

# 案例分析：倒立摆连续控制模式仿真结果

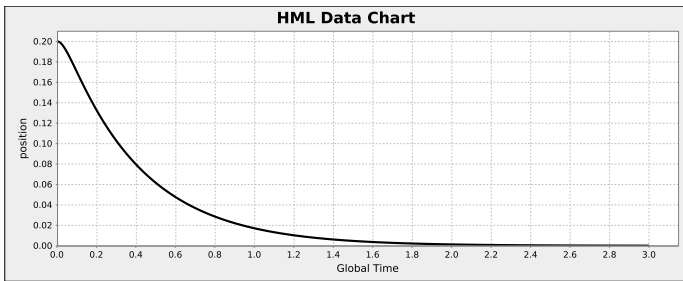
- 倒立摆的位置。参数  $K_p = 80$  ,  $K_i = 0$  ,  $K_d = 15$ 。仿真时间 3 s



- 位置没有出现振荡，在 0.6 秒之后趋于稳定

# 案例分析：倒立摆连续控制模式仿真结果

- 倒立摆的位置。参数  $K_p = 80$  ,  $K_i = 0$  ,  $K_d = 30$ 。仿真时间 3 s



- 位置没有出现振荡，与前一参数设定相比位置趋于稳定的速度变慢

# 案例分析：倒立摆离散控制 HML 模型

```
1 Template Control(float a, float theta, float omega){
2   while (true) {
3     a = kp*theta + kd*omega; wait(0.08)
4   }
5 }
6 Template Pendulum(float theta, float omega, float a){
7   (dot a = 0) || (dot theta = omega)
8   || (dot omega = g*sin(theta) - a*cos(theta))
9   until (false)
10 }
11 Main {
12   {
13     Pendulum(position, velocity, acc)
14     || Control(acc, position, velocity)
15   }
16 }
```

# 案例分析：倒立摆离散控制模式

- ① 验证倒立摆的位置和角速度可以处于  $-0.01 \sim +0.01$  :

$$(position \in [-0.01, 0.01]) \wedge (velocity \in [-0.01, 0.01])$$

验证结果：SAT ( $\delta$ -SAT), 可满足



# 案例分析：倒立摆离散控制模式

- ① 验证倒立摆的位置和角速度可以处于  $-0.01 \sim +0.01$  :

$$(position \in [-0.01, 0.01]) \wedge (velocity \in [-0.01, 0.01])$$

验证结果：SAT ( $\delta$ -SAT), 可满足

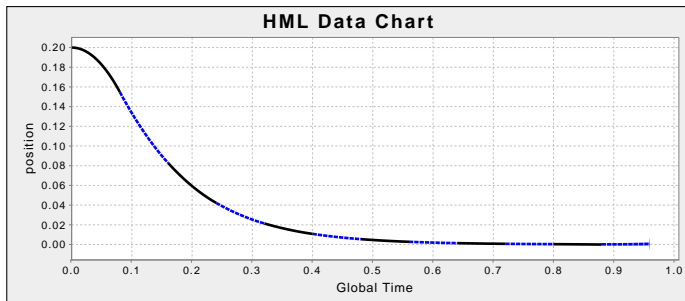
- ② 判定倒立摆的位置和速度是否会超出期望的范围：

$$(position > 0.01 \vee position < -0.01) \vee (velocity > 0.01 \vee velocity < -0.01)$$

验证结果：UNSAT (即不可满足的), 因此, 倒立摆的位置和速度将稳定于范围  $[-0.01, 0.01]$  内

# 案例分析：倒立摆离散控制仿真结果

- 离散控制下倒立摆的位置。采样时间 0.08 s，仿真时间 0.96 s



- 通过仿真与验证，倒立摆的位置在离散控制下将在 0.6 秒后趋于稳定

# 大纲

- 1 建模语言
- 2 模型转换
- 3 原型工具
- 4 案例分析
- 5 总结

- 混成系统建模语言 HML 的模型适合以逻辑公式的方式表达，并可基于 SMT 约束求解技术进行自动分析和验证

- 混成系统建模语言 HML 的模型适合以逻辑公式的方式表达，并可基于 SMT 约束求解技术进行自动分析和验证
- 基于混成关系理论的基本思想，将 HML 模型转换为 SMT 公式，开发了原型工具，实现了 HML 模型仿真和验证的自动化

- 混成系统建模语言 HML 的模型适合以逻辑公式的方式表达，并可基于 SMT 约束求解技术进行自动分析和验证
- 基于混成关系理论的基本思想，将 HML 模型转换为 SMT 公式，开发了原型工具，实现了 HML 模型仿真和验证的自动化
- 通过案例分析，HML 仿真和验证原型工具的可行性和有效性在一定程度上得以检验